## (19) **日本国特許庁(JP)**

# (12) 公 表 特 許 公 報(A)

(11)特許出願公表番号

特表2014-505863 (P2014-505863A)

最終頁に続く

(43) 公表日 平成26年3月6日(2014.3.6)

(51) Int.Cl.			FΙ		テーマコード (参考)
GO 1 R	31/36	(2006.01)	GO1R 31/	36 A	2GO16
HO1M	10/48	(2006.01)	HO1M 10/	48 P	5G5O3
H02J	7/00	(2006.01)	HO1M 10/	48 3 0 1	5HO3O
			HO2J 7/	00 Q	

		審査請求	未請求	予備審査請求 未請求	(全 20 頁)
(21) 出願番号 (86) (22) 出願日 (85) 翻訳文提出日 (86) 国際出願番号 (87) 国際公開番号 (87) 国際公開日 (31) 優先權主張番号 (32) 優先日 (33) 優先權主張国	特願2013-543259 (P2013-543259) 平成23年12月6日 (2011.12.6) 平成25年8月6日 (2013.8.6) PCT/US2011/063483 W02012/078599 平成24年6月14日 (2012.6.14) 12/960,856 平成22年12月6日 (2010.12.6) 米国 (US)	(71) 出願人	東 507107 テレアーン 4 代の代表 3 4 の代表 4 4 4 4 4 4 4 4 4 4 4 4 4 4 4 4 4 4 4	キサス・インスツルメ 新宿区西新宿六丁目2 291 ·ス インスツルメンツ ッド カ合衆国 テキサス州 74 ダラス メイル 999 ピーオーボッ	4番1号 インコーポ 75265 ステイショ

(54) 【発明の名称】バッテリー容量を検知するためのシステム及び方法

# (57)【要約】

本発明の一実施例が、バッテリー検知システムを含む 。このシステム(10)は、バッテリー(14)の温度 (TEMP)を測定するように構成される温度センサ( 16)と、バッテリーの放電の深さ(DOD)に関連す るバッテリーの定常状態及び遷移挙動(24、26)に 関連する所定のデータ(20)をストアするように構成 されるメモリ(18)とを含む。このシステム(10) は、バッテリー(14)の電圧を測定するように、及び 電圧、所定のデータ、及び温度に基づいてバッテリーの 充電状態(SOC)を計算するように構成されるコント ローラ(12)を更に含む。

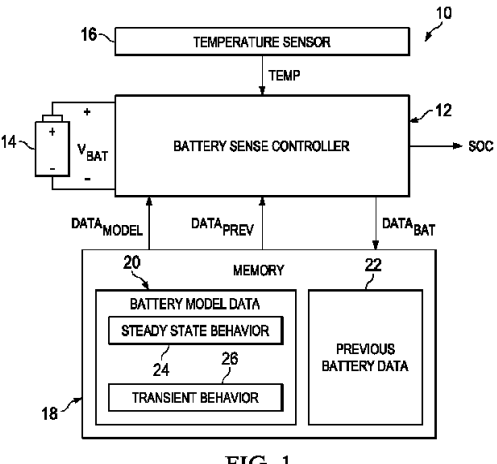


FIG. 1

#### 【特許請求の範囲】

## 【請求項1】

バッテリー検知システムであって、

バッテリーの温度を測定するように構成される温度センサ、

前記バッテリーの放電の深さ(DOD)に関連する前記バッテリーの定常状態挙動と遷移挙動とに関連付けられる所定のデータをストアするように構成されるメモリ、及び

前記バッテリーの電圧を測定するように、及び前記電圧、前記所定のデータ、及び前記温度に基づいて前記バッテリーの充電状態(SOC)を計算するように構成されるコントローラ、

を含む、システム。

# 【請求項2】

請求項1に記載のシステムであって、前記コントローラが、複数のサンプリング時間の各々において前記電圧を測定し、且つ、前記SOCを計算するように構成され、前記バッテリーの定常状態挙動及び遷移挙動に関連付けられる所定のデータが、前記バッテリーの温度依存抵抗を含み、前記コントローラが、前記バッテリーの前記電圧及び前記温度依存抵抗に基づいて前記バッテリーにより生成される電流を推定するように構成され、及び更に、前のサンプリング時間における前記指定された電流に基づいて現在のサンプリング時間における前記バッテリーの前記SOCを計算するように構成される、システム。

### 【請求項3】

請求項1に記載のシステムであって、前記バッテリーの前記定常状態挙動及び遷移挙動に関連付けられる所定のデータが、定常状態回路部及び遷移回路部を含むダイナミックバッテリーモデルとして前記バッテリーをモデル化することに基づいて判定され、前記ダイナミックバッテリーモデルが少なくとも一つのRCネットワークを含む、システム。

#### 【請求項4】

請求項3に記載のシステムであって、

前記少なくとも1つのRCネットワークが、

直列に結合される第1のレジスタ及び第1のキャパシタとして構成される前記定常状態回路部に関連付けられる第1のRCネットワーク、及び

前記遷移回路部に関連付けられる少なくとも一つの第2のRCネットワークであって、各々が並列に結合される第2のレジスタ及び第2のキャパシタとして構成される、前記少なくとも1つの第2のRCネットワーク、

を含む、システム。

#### 【請求項5】

請求項4に記載のシステムであって、前記バッテリーの前記定常状態挙動及び遷移挙動に関連付けられる所定のデータが、全て前記バッテリーの複数のDODポイントの関数として、前記第1及び第2のキャパシタの静電容量値の比と、前記第1及び第2のレジスタの抵抗値の比と、前記第1のキャパシタの電圧に対する温度依存線形数式変数と、前記バッテリーの総抵抗に関連付けられる温度依存指数方程式変数とを含む、システム。

### 【請求頃6】

請求項5に記載のシステムであって、前記コントローラが、前記バッテリーの前記温度の関数として、前記第1及び第2のレジスタの抵抗値の前記比と前記バッテリーの総抵抗に関連付けられる温度依存指数方程式変数とに基づいて前記ダイナミックバッテリーモデルの前記第1及び第2のレジスタの前記抵抗値を計算するように、及び前記バッテリーの前記温度の関数として、前記第1及び第2のキャパシタの静電容量値の前記比と前記第1のキャパシタの電圧に対する温度依存線形数式変数とに基づいて前記ダイナミックバッテリーモデルの前記第1及び第2のキャパシタの前記静電容量値を計算するように構成される、システム。

# 【請求項7】

請求項6に記載のシステムであって、前記コントローラが更に、前記バッテリーの経年劣化を把握するため前記メモリ内の前記バッテリーの前記温度の関数として、前記バッテ

10

20

30

- -

40

リーの総抵抗に関連付けられる前記温度依存指数方程式変数を更新するように構成される 、システム。

### 【請求項8】

請求項6に記載のシステムであって、前記コントローラが更に、前記ダイナミックバッテリーモデルの前記第1及び第2のレジスタの前記抵抗値と前記ダイナミックバッテリーモデルの前記第1及び第2のキャパシタの前記静電容量値とに基づいて、及び前のサンプリング時間における前記バッテリーを介する前記推定された電流に基づいて、現在のサンプリング時間において前記バッテリーにより生成される電流を推定するように構成される、システム。

# 【請求項9】

請求項8に記載のシステムであって、前記コントローラが更に、前記前のサンプリング時間における前記バッテリーの前記DODの前記バッテリーの前記推定された電流に基づいて前記バッテリーの前記SOCを計算するように構成される、システム。

### 【請求項10】

請求項3に記載のシステムであって、前記バッテリーの前記定常状態挙動及び遷移挙動に関連付けられる所定のデータの少なくとも一部が、所定の負荷を前記ダイナミックバッテリーモデルに適用すること、及び前記所定の負荷を介する電流の関数として、前記ダイナミックバッテリーモデルに関連付けられる電圧の変化を測定することに基づいて判定される、システム。

### 【請求項11】

請求項10に記載のシステムであって、前記バッテリーの前記定常状態挙動及び遷移挙動に関連付けられる前記所定のデータの少なくとも一部が、前記所定の負荷を取り除くと前記ダイナミックバッテリーモデルに関連付けられる電圧応答を測定することに基づいて判定される、システム。

#### 【請求項12】

バッテリーの充電状態(SOC)を計算するための方法であって、前記方法が、

前記バッテリーの放電の深さ(DOD)に関連する前記バッテリーの定常状態と遷移挙動とに関連付けられる所定のデータを判定するため定常状態回路部及び遷移回路部を含むダイナミックバッテリーモデルとして前記バッテリーをモデル化すること、

前記バッテリーの温度を判定すること、

前記バッテリーの電圧を測定すること、

メモリから前記所定のデータにアクセスすること、及び

前記電圧、前記所定のデータ、及び前記温度に基づいて、前記バッテリーの前記SOCを計算すること、

を含む、方法。

# 【請求項13】

請 求 項 1 2 に 記 載 の 方 法 で あ っ て 、 前 記 バ ッ テ リ ー を モ デ ル 化 す る こ と が 、

前記定常状態回路部を、直列に結合される第1のレジスタ及び第1のキャパシタとして モデル化すること、

前記遷移回路部を、並列に結合される第2のレジスタ及び第2のキャパシタとしてモデル化すること、及び

前記バッテリーの前記DODの関数として、前記第1及び第2のキャパシタ及び前記第1及び第2のレジスタの値を計算することであって、前記第1及び第2のキャパシタ及び前記第1及び第2のレジスタの前記値が、前記バッテリーの前記定常状態挙動と遷移挙動とに関連付けられる所定のデータの一部を形成すること、

を含む、方法。

# 【請求項14】

請求項13に記載の方法であって、前記バッテリーをモデル化することが、全て前記バッテリーの複数のDODポイントの関数として、前記第1及び第2のキャパシタの静電容量値の比、前記第1及び第2のレジスタの抵抗値の比、前記第1のキャパシタの電圧に対

10

20

30

3(

40

する温度依存線形数式変数、及び前記バッテリーの総抵抗に関連付けられる温度依存指数 方程式変数として、前記バッテリーの前記定常状態挙動及び遷移挙動に関連付けられる所 定のデータを生成することを更に含む、方法。

### 【請求項15】

請求項14に記載の方法であって、前記SOCを計算することが、

前記バッテリーの前記温度の関数として、前記第1及び第2のレジスタの抵抗値の前記 比と前記バッテリーの総抵抗に関連付けられる前記温度依存指数方程式変数とに基づいて 、前記ダイナミックバッテリーモデルの前記第1及び第2のレジスタの前記抵抗値を計算 すること、及び

前記バッテリーの前記温度の関数として、前記第1及び第2のキャパシタの静電容量値前記比と前記第1のキャパシタの前記電圧に対する前記温度依存線形数式変数とに基づいて、前記ダイナミックバッテリーモデルの前記第1及び第2のキャパシタの前記静電容量値を計算すること、

を含む、方法。

# 【請求項16】

請求項15に記載の方法であって、前記SOCを計算することが、

前記ダイナミックバッテリーモデルの前記第1及び第2のレジスタの前記抵抗値と前記ダイナミックバッテリーモデルの前記第1及び第2のキャパシタの前記静電容量値とに基づいて、及び前のサンプリング時間における前記バッテリーを介する前記推定された電流に基づいて、現在のサンプリング時間における前記バッテリーにより生成される電流を推定すること、及び

前記バッテリーにより生成される前記推定された電流と前記前のサンプリング時間における前記バッテリーの前記DODとに基づいて、前記バッテリーの前記SOCを計算すること、

を更に含む、方法。

### 【請求項17】

バッテリー検知システムであって、

バッテリーの温度を測定するように構成される温度センサ、

前記バッテリーの放電の深さ(DOD)に関連する前記バッテリーの定常状態挙動及び 遷移挙動に関連付けられる所定のデータをストアするように構成されるメモリ、及び 複数のサンプリングインタバルの各々で前記バッテリーの電圧のサンプルを得るように

複数のサンプリングインタバルの各々で削記バッテリーの電圧のサンプルを得るように、前記サンプリングインタバル、前記所定のデータ、及び前記温度のそれぞれ一つにおける前記電圧に基づいて所定のサンプリングインタバルで前記バッテリーにより生成される対応する電流を推定するため、及び前記サンプリングインタバルのそれぞれにおける前記バッテリーを介する前記推定された電流に基づいて、及び直前のサンプリングインタバルにおける前記バッテリーの前記DODに基づいて、前記バッテリーの充電状態(SOC)を計算するように構成されるコントローラ、

を含む、システム。

# 【請求項18】

請求項17に記載のシステムであって、前記バッテリーの前記定常状態挙動と遷移挙動に関連付けられる前記所定のデータが、定常状態回路部及び遷移回路部を含むダイナミックバッテリーモデルとして前記バッテリーをモデル化することに基づいて判定され、前記静的及び遷移回路部の各々が少なくとも一つのRCネットワークを含む、システム。

# 【請求項19】

請求項18に記載のシステムであって、前記バッテリーの前記定常状態挙動及び遷移挙動に関連付けられる前記所定のデータの少なくとも一部が、前記ダイナミックバッテリーモデルに所定の負荷を適用すること、及び前記所定の負荷を介する電流の関数として前記ダイナミックバッテリーモデルに関連付けられる電圧の変化を測定することに基づいて判定される、システム。

# 【請求項20】

10

20

30

40

請求項19に記載のシステムであって、前記バッテリーの前記定常状態挙動及び遷移挙動に関連付けられる前記所定のデータの少なくとも一部が、前記所定の負荷を取り除くと前記ダイナミックバッテリーモデルに関連する電圧応答を測定することに基づいて判定される、システム。

【発明の詳細な説明】

# 【技術分野】

# [0001]

本発明は、概して電子回路に関し、更に特定していえば、バッテリー容量を検知するためのシステム及び方法に関連する。

#### 【背景技術】

[0002]

携帯型電子デバイスは、化学反応に基づいて電圧を生成するバッテリーにより電力供給される。バッテリーが電力を携帯型電子デバイスに供給するにつれて、その電力を供給するバッテリーの容量は減少してくる。幾つかの携帯型電子デバイスでは、その携帯型電子デバイスのユーザーに残存バッテリー容量の通知が提供されるように、残存バッテリー容量の表示を提供する。しかし、このようなバッテリー検知システムは、たいてい不正確であり得、且つ/又は、高価であり得、かさばり得、及び/又は電力引き出しに関し非効率であり得る、付加的な回路構成要素を含み得る。

#### 【発明の概要】

[0003]

本発明の一実施例がバッテリー検知システムを含む。このシステムは、バッテリーの温度を測定するように構成される温度センサ、及びバッテリーの放電の深さ(DOD)に関連するバッテリーの定常状態挙動と遷移挙動とに関連付けられる所定のデータをストアするように構成されるメモリを含む。このシステムは、バッテリーの電圧を測定するように、及びこの電圧、前記所定のデータ、及び前記温度に基づいてバッテリーの充電状態(SOC)を計算するように構成されるコントローラを更に含む。

## [0004]

本発明の別の実施例は、バッテリーのSOCを計算するための方法である。この方法は、バッテリーのDODに関連するバッテリーの定常状態挙動と遷移挙動とに関連付けられる所定のデータを判定するため、定常状態回路部と遷移回路部を含むダイナミックバッテリーモデルとしてバッテリーをモデル化することを含む。この方法は、バッテリーの温度を判定すること、バッテリーの電圧を測定すること、及びメモリから前記所定のデータにアクセスすることを更に含む。この方法は、この電圧、前記所定のデータ、及び前記温度に基づいてバッテリーのSOCを計算することを更に含む。

# [0005]

本発明の更に別の実施例がバッテリー検知システムを含む。このシステムは、バッテリーの温度を測定するように構成される温度センサ、及びバッテリーのDODに関連するバッテリーの定常状態挙動と遷移挙動とに関連付けられる所定のデータをストアするように構成されるメモリを含む。このシステムは、複数のサンプリングインタバルのそれぞれにおける電圧、前記所定のデータ、及び前記温度に基づいて、所定のサンプリングインタバルにおいてバッテリーにより生成される対応する電流を推定するため、複数のサンプリングインタバルの各々でバッテリーの電圧のサンプルを得るように構成されるコントローラを更に含む。コントローラは更に、複数のサンプリングインタバルのそれぞれにおいてバッテリーを介する電流に基づいて、及び直前のサンプリングインタバルにおけるバッテリーのDODに基づいて、バッテリーのSOCを計算するように構成される。

### 【図面の簡単な説明】

# [0006]

【 図 1 】 図 1 は、 本 発 明 の 1 つ の 側 面 に 従 っ た バ ッ テ リ ー 検 知 シ ス テ ム の 一 例 を 図 示 す る

•

[0007]

10

20

30

40

20

30

40

50

(6)

【 図 2 】 図 2 は、 本 発 明 の 1 つ の 側 面 に 従 っ た ダ イ ナ ミ ッ ク バ ッ テ リ ー モ デ ル の 一 例 を 図 示 す る 。

[0008]

【図3】図3は、本発明の1つの側面に従った電圧対時間のグラフの一例を図示する。

[0009]

【 図 4 】 図 4 は、 本発明の 1 つの側面に従ったダイナミックバッテリーモデルデータの表の一例を図示する。

[0010]

【図5】図5は、本発明の1つの側面に従ってバッテリーの充電状態(SOC)を計算するための方法の一例を図示する。

【発明を実施するための形態】

[0011]

本発明は、概して電子回路に関し、更に具体的には、バッテリー容量を検知するためのシステム及び方法に関連する。バッテリー検知システムが、バッテリーの温度を測定する温度センサを含み得る。この温度はバッテリー検知コントローラに供給され、バッテリー検知コントローラは、バッテリーの電圧を測定するように、及び電圧、温度に基づいて、及びバッテリーの定常状態挙動と遷移挙動とに関連付けられる所定のデータに基づいて、バッテリーの充電状態(SOC)を計算するように構成される。所定のデータはメモリにストアされ得、これは、バッテリーのSOCも複数のサンプリングインタバルの各々において同様に判定され得るように、複数のサンプリングインタバルの各々でバッテリー検知コントローラによりアクセスされ得る。

[0012]

本明細書に記載するように、バッテリーのSOCは、そのバッテリーに利用可能な電荷がどの程度残っているかを示すために時折用いられる。バッテリーの放電の深さ(DOD)は、そのバッテリーがどのくらい放電されたかを指し得、そのバッテリーの最大総ゼロ電流電荷QMAXで除された、現在残っている集積電荷Qと定義することができる。バッテリーのDODは、式DOD+SOC=1によりSOCに関連し、通常、そのバッテリーにより電力供給されるデバイスの残存実行時間の演算を得るために用いられる。従って、本明細書に記載するように、SOC及びDODは概して、1に対しSOC及びDOD間で逆比例の関係に基づいて相互交換可能な方式で、記載され得る。

[0013]

所定のデータは、オフラインで生成され得、バッテリーの製造前などに、バッテリーをダイナミックバッテリーモデルとしてモデル化すること、及び対応するテストバッテリーをに対し一連のテストを実行することに基づいて、検知されているバッテリーの特定のクロークを含む、定常状態回路部及び遷移回路部を含むように構びされ得る。例えば、定常状態回路部のRCネットワークが、直列接続されるレジスタ及で書を含むれ得る。のでは、定常状態回路部のRCネットワークが、並列接続のレジスタ及でキャパシタを含み得る。それぞれの静的及び遷移回路部の各々におけるレジスタ及びキャシタを含み得る。それぞれの静的及び遷移回路部の各々におけるレジスタ及びキャシの値は、対応するテストバッテリーに所定の負荷を取り除くことにより判定を判定すること、及び電圧応答を判定するため負荷を取り除くことにより判定の変化を判定すること、及び電圧応答を判定するため負荷を取り除くことにより制定ので、また、バッテリーの抵抗の値及びダイナミックバッテリーモデルの定常状態回路の電圧は温度依存であり得、そのため、テストバッテリーに対して同様に判定され得る。

[0014]

バッテリー検知コントローラはその後、バッテリーのSOCを判定するため、電圧、所定のデータ、及びバッテリーの温度に基づいて一連の計算を実行することができる。具体的には、バッテリー検知コントローラは、それぞれのサンプリングインタバルにおける電圧及び前のサンプリング期間のDODに基づいて、複数のサンプリングインタバルの各々におけるバッテリーの電流を反復的に計算することができる。この電流はその後、バッテ

20

30

40

50

リーの現在のSOCを計算するために用いられ得る。従って、バッテリー検知コントローラは、前の計算及び電圧及び温度の両方の電流測定に基づいて、バッテリーのSOCに対し新しい値を計算し続けることができる。

### [0015]

# [0016]

バッテリー検知システム10は、温度信号TEMPをバッテリー検知コントローラ12に提供するように構成される温度センサ16を含む。温度信号TEMPは、バッテリー14の実際の温度に関連付けられる信号であり得、又はバッテリーを囲むエリアの周囲温度の測定値であり得る。一例として、温度信号TEMPは、温度センサ16の一部であり得るアナログデジタルに分によって提供されるなどの、デジタル信号であり得る。バッテリー検知システム10は、バッテリーモデルデータ20及び前のバッテリーデータ22をストアするように構成されるメモリ18を更に含む。バッテリーモデルデータ20は、バッテリー14の定常状態挙動パラメータに対応する定常状態挙動データ24、及びバッテリー14の遷移挙動パラメータに対応する遷移挙動データ26は、バッテリー14のDODに依存する値を有するダイナミックバッテリーモデルに関するデータを含み得る。

#### [0017]

バッテリーモデルデータ20は、バッテリー14と実質的に同じ化学成分を有するテストがッテリー(図示せず)に対してテストを行うことにより、バッテリー14の製造存とになど、オフラインで生成され得る。所定のバッテリーの特性は概して、同じデータできる全てのバッテリーに適用可能である。同じデータできるでので、特定の化学成分を有する全てのバッテリーに適用可能である。ことができる。同じ化学成分(例えば、リチウムイオン)の全てのバッテリーに用いることができないが、リーに対するDODに関連する所定のが、カーに対するOODに関連する所定のががが、の関連ならないでであるが、そののに対して、バッテリーを超えて異ならないで、そののにでは、バッテリーモデルデータ20は、バッテリーモデルで、グッテリーに関連付けられるデータに対応し得る。メモリ18から信号ロストローラ12は、バッテリー14のSOCを計算するため、メモリ18から信号ロストのローラ12は、バッテリーモデルデータ20を実装することがである。

# [0018]

前のバッテリーデータ22は、バッテリー14に関するデータの、前の計算に対応するデータのセットである。一例として、前のバッテリーデータ22は、バッテリー14の予

20

30

40

50

め計算されたDOD、予め測定された電圧V $_{BAT}$ 、及び予め推定されたバッテリー電流を含み得る。図1の例において、バッテリー検知コントローラ12がバッテリーと必要とされる付加的なデータを、前のバッテリーデータ22としてストアされるべき信号DATA $_{BAT}$ として、メモリ18に提供することができる。そのため、バッテリーを知コントローラ12は、ボッテリー14の次のDOD値を計算すると、バッテリーを実装する2と、バッテリー14のSOCを計算するため前のバッテリーデータ20を実装する2と、メモリ18から提供される、信号DATA $_{PRE}$  を介して前のボッテリーデータ22を受け取ることができる。従って、温度信号TEMPで示されるバッテリー14の温度、信号DATA $_{BAT}$ 、温度信号TEMPで示されるバッテリー14の温度、信号DATA $_{BAT}$ で示されるバッテリーモデルデータ20、及び信号DATA $_{PRE}$  で示される前のバッテリーデータ22に基づいて、バッテリー14の電流SOCを計算することができる。

[0019]

上述のように、バッテリーモデルデータ20は、バッテリー14をダイナミックバッテリーモデルとしてモデル化することに基づいてバッテリー14に対して生成され得る。図2は、本発明の1つの側面に従ったダイナミックバッテリーモデル50の一例を図示する。ダイナミックバッテリーモデル50は、図1の例においてバッテリー14に対応し得る。従って、図2の例の下記の詳細な説明において図1の例を参照する。

[0020]

[ 0 0 2 1 ]

[0022]

図3は、本発明の1つの側面に従った電圧対時間のグラフ100の一例を図示する。グラフ100は、図2の例においてダイナミックバッテリーモデル50に関連付けられるテ

ストバッテリーの電圧応答を示すことができ、そのため、バッテリー14の所定のDOD値の各々における開回路電圧V<sub>OC</sub>、静電容量C<sub>SER</sub>、抵抗R<sub>SER</sub>、静電容量C<sub>PA</sub>、及び抵抗R<sub>PAR</sub>に対する値を把握するように実装され得る。そのため、図3の以下の例において図1及び2の例を参照する。

### [0023]

グラフ100は、時間の関数としてプロットされるダイナミックバッテリーモデル50の電圧V(t)を示す。テストバッテリーに対してテストを実行する際、所定の負荷が、テストバッテリーの特定のDODインタバルにおいてテストバッテリーに適用され得及びそれから取り除かれ得る。そのため、テストバッテリーの電圧応答は、DODインタバルの各々における開回路電圧V $_0$   $_{\rm C}$  、静電容量  $_{\rm C}$   $_{\rm S}$   $_{\rm E}$   $_{\rm R}$  、抵抗  $_{\rm S}$   $_{\rm E}$   $_{\rm R}$  、静電容量  $_{\rm C}$   $_{\rm P}$   $_{\rm A}$   $_{\rm R}$  に対する値を把握するために監視され得る。具体的には、電圧V(tりが実施的に一定のままである値V $_0$  を有するように、時間  $_{\rm O}$  で、テストバッテリーに印加される負荷はない。

# [0024]

時間  $T_0$  に続く時間  $T_1$  で、既知の電流 I ( t ) がテストバッテリーから流れるように、所定の負荷がテストバッテリーに印加される。応答において、電圧 V ( t ) は、時間  $T_1$  における大きさ  $V_0$  から、所定の負荷がテストバッテリーから取り除かれる時間  $T_2$  の大きさ  $V_1$  まで低減し始める。グラフ 1 0 0 の時間  $T_1$  と  $T_2$  の間の時間の領域はそのため、電圧 V ( t ) の高周波数領域 1 0 2 を定義することができ、これは、高周波数領域 1 0 2 の所定の D O D T ンタバル T の間テストバッテリーのパラメータを識別することができる。一例として、レジスタ T に T の値は、下記のように、電流 T T ( T )の変化に関連する電圧 T T ( T )の変化に基づいて確認され得る。

 $R_{SER}(X) = dV(t)/dI(t)$  (式1) そのため、レジスタ $R_{PAR}$ の値は下記のように確定され得る。

 $R_{PAR}(X) = R_{BAT}(X) - R_{SER}(X)$  (式2)

また、所定のDODインタバルに対し、キャパシタC $_{SER}$ の開回路電圧 $V_{OC}$ は電圧V( t )に基づいて判定され得、下記のようになる。

 $V_{OC}(X) = V(t) - V_{RC}(X) = I(t) \times R_{BAT}(X)$  (式3)ここで、 $V_{RC}$ は抵抗  $R_{BAT}$ の電圧である。従って、所定の DOD インタバルの高周波数領域102は、所定の DOD インタバル X の  $R_{SER}$ 、  $R_{PAR}$ 、 及び  $V_{OC}$  の値を判定するように実装され得る。

# [0025]

時間  $T_2$  の後、所定の負荷がテストバッテリーから取り除かれると、電圧 V ( t ) はリラックスし、そのため、図 3 の例において  $V_1$  の大きさから  $V_2$  の大きさまで増加する。そのため、時間  $T_2$  はリラクゼーション領域 1 0 4 を定義する。そのため、 $V_1$  からリラクゼーション領域 1 0 4 における  $V_2$  までの電圧 V ( t ) の大きさの増加は、ダイナミックバッテリーモデル 5 0 の付加的なパラメータを判定するために分析され得る。具体的には、時間 t の関数として電圧 V ( t ) の増加は、下記のように、DODインタバル X の静電容量  $C_{PAR}$  の大きさを判定することができる。

 $C_{PAR}(X) = dV(t)/dt$  (式4)

# [0026]

ここで、 Q <sub>M A X</sub> はテストバッテリーの最大総ゼロ電流電荷である。従って、ダイナミックバッテリーモデル 5 0 の回路パラメータは、 D O D インタバル Y の各々に対し充分にモデル化され得る。

10

20

30

40

20

30

40

50

[0027]

バッテリー14の所定のDOD値の各々での開回路電圧 $V_{OC}$ 、静電容量 $C_{SER}$ 、抵抗  $R_{SER}$ 、静電容量 $C_{PAR}$ 、及び抵抗  $R_{PAR}$ のための値を把握するための初期実験は、所定の「室」温で行われ得る。そのため、ダイナミックバッテリーモデル 5 0 の抵抗 及び電圧両方の温度依存性に基づいて、ダイナミックバッテリーモデル 5 0 に基づいてバッテリーモデルデータ 2 0 を構築する際にテストバッテリーを用いてこの実験は更に、温度構成要素を組み込むこともできる。具体的には、温度は、レジスタ  $R_{SER}$  及び  $R_{BA}$  の  $R_{BA}$  及び  $R_{BA}$  入  $R_{BA}$  及び  $R_{BA}$  入  $R_{BA}$  入  $R_{BA}$  入  $R_{BA}$  入  $R_{$ 

RATIO<sub>1</sub> (X) = R<sub>SER</sub> (X) / R<sub>PAR</sub> (X) (式6) 及び

 $RATIO_{2}(X) = C_{SER}(X) / C_{PAR}(X)$  (式7)

[0028]

また、テストバッテリーに対する温度実験に基づいて、温度に基づいて開回路電圧  $V_0$  及びバッテリー抵抗  $R_{BAT}$  を計算するためのファクターのセットが判定され得る。具体的には、 DOD 依存変数のセットは、下記数式に基づいて開回路電圧  $V_0$  C及びバッテリー抵抗  $R_{BAT}$  の温度依存計算を可能にし得る。

V<sub>OC</sub>(X)=OCV\_A(X)+OCV\_B(X)×T (式8) R<sub>BAT</sub>(X)=R\_A(X)<sup>(R-B(X)×(10×T-250))</sup> 式9)

ここで、 T は温度であり、 O C V  $\_$  A は開回路電圧 V  $_{O}$   $_{C}$  に対するインターセプト変数であり、 O C V  $\_$  B は開回路電圧 V  $_{O}$   $_{C}$  に対するスロープ係数であり、 R  $\_$  A はバッテリー抵抗 R  $_{B}$   $_{A}$   $_{T}$  に対するベース変数であり、 R  $\_$  B はバッテリー抵抗 R  $_{B}$   $_{A}$   $_{T}$  に対する指数係数である。

[0029]

[0030]

図4は、本発明の1つの側面に従ったダイナミックバッテリーモデルデータの表150の一例を図示する。ダイナミックバッテリーモデルデータは、図1の例におけるバッテリーモデルデータ20に対応し得、図2及び図3の例に関連して上述した手法に基づいて生成され得る。従って、図4の下記の例において図1~図3の例を参照する。

[0031]

表 1 5 0 は、バッテリーモデルデータ 2 0 の所定のセットがテストバッテリー及びダイナミックバッテリーモデル 5 0 から把握される D O D 値のセットを示す第 1 のコラム 1 5 2 を含む。図 4 の例において、第 1 のコラム 1 5 2 は、バッテリー 1 4 の D O D に対し 1 5 個の異なる値を含む。しかし、図 4 の例において D O D のこれらの値は一例として示されること、及び表 1 5 0 はバッテリーモデルデータ 2 0 が得られた任意の数の D O D 値を含み得ることを理解されたい。表 1 5 0 は、インターセプト変数 O C V \_ A を示す第 2 の

20

30

40

50

コラム 1 5 4、スロープ係数 O C V \_ B を示す第 3 のコラム 1 5 6、及びベース変数 R \_ A を示す第 4 のコラム 1 5 8 を更に含む。表 1 5 0 は更に、指数係数 R \_ B を示す第 5 のコラム 1 6 0、R A T I O 1を示す第 6 のコラム 1 6 2、及び R A T I O 2を示す第 7 のコラムを含む。従って、バッテリーモデルデータ 2 0 は、バッテリー 1 4 のバッテリー 1 4 の S O C を判定するため定常状態挙動及び遷移挙動の実質的に完全な特徴を含み得る。【 0 0 3 2 】

再び図1の例を参照すると、所定のサンプリング時間(k)に、バッテリー検知コント ローラ 1 2 はそのため、バッテリー 1 4 の S O C を計算することができる。バッテリー検 知コントローラ 1 2 はまず、温度信号TEMPを介してバッテリー 1 4 の電圧V<sub>BAT</sub>( k )及び温度 T を測定することができ、バッテリー14の電流 I gg T(k )を推定する ことができる。電流 I <sub>E S T</sub> ( k ) を推定するため、バッテリー検知コントローラ 1 2 は 、前のサンプリング時間(k-1)において得られた及び計算されたDOD、推定された 電流I<sub>EST</sub>、及びバッテリー電圧V<sub>BAT</sub>を得るため、信号DATA<sub>PREV</sub>を介して 、前のバッテリーデータ 2 2 に対しメモリ 1 8 にアクセスできる。DOD(k-1)の値 に基づいて、バッテリー検知コントローラ12は、信号DATAMonェ」を介してバッ テリーモデルデータ20を得るためメモリ18にアクセスできる。具体的には、バッテリ ー検知コントローラ 1 2 は、 D O D ( k - 1 ) より直に大きい及び D O D ( k - 1 ) より 直に小さい、2つの既知のDOD値に対応して表150からパラメータにアクセスできる 。 従って、バッテリー検知コントローラ12は、その間にDOD(k-1)がある、DO D(X)及びDOD(X+1)の各々における値の線形補間に基づいて、インターセプト 変数 O C V \_\_ A 、 スロープ係数 O C V \_\_ B 、 ベース変数 R \_\_ A 、 指数係数 R \_\_ B 、 R A T IOᇽ、及びRATIOっに対する値を判定することができる。充分に充電されたバッテ リー14(即ち、SOC=1)後の第1のサンプリング時間(k)では、前のサンプリン グ 時 間 ( k - 1 )の デ ー タ は 、 D O D の 第 1 の 値 ( 即 ち 、 D O D = 0 . 0 0 0 ) の バ ッ テ リーモデルデータ20に対応し得ることを理解されたい。

[0033]

DOD(k-1)でのバッテリーモデルデータ20に対する値を得ると、バッテリー検知コントローラ12は、温度Tに基づいてバッテリー14のモデル化された抵抗R<sub>SER</sub>及びR<sub>PAR</sub>に対する実際の値を得るために上記式6及び9を実行し得る。具体的には、式9を用いて、バッテリー検知コントローラ12は、バッテリーの総抵抗R<sub>BAT</sub>を温度に対し調節されたものとして計算することができる。その後、温度調節された抵抗値バッテリーのR<sub>BAT</sub>を用いて、バッテリー検知コントローラ12は、下記のように数式6を実装し得る。

 $R_{BAT} = R_{SER} + R_{PAR} = R_{PAR} + R_{PAR} \times RATIO_1$  (式10) 従って、バッテリー検知コントローラ12は、下記のように、バッテリー14のモデル化された抵抗  $R_{SER}$  及び  $R_{PAR}$  を計算することができる。

 $R_{PAR} = R_{BAT} / (1 + RATIO_1))$  (式11) 及び

 $R_{SER} = R_{BAT} - R_{PAR} \quad ( \vec{\Xi} 1 2 )$ 

[0034]

上述のように、バッテリー検知コントローラ12は、それぞれ、式3及び5に基づいて、各DOD値Xに対して開回路電圧 $V_{OC}$ 及び静電容量  $C_{SER}$ に対する値を得ることができる。そのため、バッテリー検知コントローラ12は、その間にDOD(K-1)がある、DOD(X)及びDOD(X+1)の各々における値の線形補間に基づいて開回路電圧 $V_{OC}$ 及び静電容量 $C_{SER}$ の値を同様に判定することができる。バッテリー検知コントローラ12はその後、下記のように、静電容量 $C_{PAR}$ の値を計算することができる

 $C_{PAR} = C_{SER} / RATIO_2$  (式13)

[ 0 0 3 5 ]

バッテリー検知コントローラ12はその後、電流 I <sub>E S T</sub> ( k )推定するために、抵抗

30

40

50

R S E R 及び R P A R 、 静電容量 C P A R 、 及び開回路電圧 V O C に対し計算された値を用いることができる。具体的には、バッテリー検知コントローラ 1 2 は、抵抗 R S E R 及び R P A R 及び静電容量 C P A R に対し計算された値を、電流 I E S T ( k ) を推定するため係数のセットを計算するため用いることができる。係数は、下記のように定義することができる。

P<sub>0</sub> = 1 / R<sub>SER</sub> (式14) 【数1】

$$P_{1} = -Q \overline{(R_{RAR}, C_{RAR})}$$

$$( \pm 1.5)$$

$$P_{2} = Q \overline{(R_{RAR}, R_{SER})} - R_{PAR} *$$

$$( \pm 1.5)$$

$$( \pm 1.5)$$

$$( \pm 1.6)$$

ここで、Tsはサンプリング時間である。係数 $P_0$ 、 $P_1$ 、及び $P_2$ は、上述のように、各サンプル(k)で計算され得、又は上述と同様に所定のサンプリング時間(k)における係数 $P_0$ 、 $P_1$ 、及び $P_2$ の値が線形的に補間され得るように各所定のDOD(X)におけるテストの間計算され得ることを理解されたい。

## [0036]

バッテリー検知コントローラ 1 2 はその後、下記のように、所定のサンプル( k )に対する開回路電圧  $V_{OC}$  に基づいて、レジスタ  $R_{SER}$  及び遷移回路部 5 4 の電圧  $V_{RC}$  を計算することができる。

 $V_{RC}$  ( k ) =  $V_{BAT}$  ( k ) -  $V_{OC}$  ( k ) (式 1 7 ) 開回路電圧  $V_{OC}$  ( k ) を得るため、バッテリー検知コントローラは、下記のように、前のバッテリーデータ 2 2 にストアされた予め計算された開回路電圧  $V_{OC}$  ( k - 1 ) 及び

 $V_{OC}(k) = I_{EST}(k-1) \times TS \times C_{SER}(k) + V_{OC}(k-1)$  (式18)

予め推定された電流 I <sub>E S T</sub> ( k - 1 )の値を実装し得る。

開回路電圧 Voc(k)は更に、上述の数式 8 を用いて温度に対し調節され得る。従って、バッテリー検知コントローラ 1 2 は、下記のように、バッテリー 1 4 により生成される電流 I <sub>EST</sub>(k)を推定することができる。

 $I_{EST}(k) = P_0 \times V_{RC}(k) + P_1 \times V_{RC}(k-1) + P_2 \times I_{EST}(k-1)$  (式19)

# [0037]

バッテリー 1 4 により生成される電流  $I_{EST}$  ( k ) を推定すると、バッテリー検知コントローラ 1 2 は更に、サンプル時間 ( k ) にバッテリー 1 4 の 1 0 C を計算することもできる。具体的には、バッテリー検知コントローラ 1 2 は、下記のように、DODの前の値(k - 1 ) 及び予め推定された電流  $I_{EST}$  ( k - 1 ) 、を実装することができる。

 $DOD(k) = DOD(k-1) - I_{EST}(k-1) \times TS/Q_{MAX}$  (式20) SOC(k) = 1 - DOD(k) (式21)

SOC(k)= T - DOD(k) (式2T) SOC(k)はその後、インジケータ(図示せず)に提供され得、インジケータは、関連する携帯型電子デバイスのユーザーにバッテリー14のSOC表示を提供する。DOD(k)、開回路電圧V<sub>OC</sub>(k)、及び推定された電流 I<sub>EST</sub>(k - 1)の値がその後、バッテリー検知コントローラ12が将来のサンプリング時間(k + 1)にバッテリーのSOCを再帰的に計算できるように、前のバッテリーデータ22としてストアされるべき信号 DATA<sub>BAT</sub>を介してメモリ18に提供され得る。また、抵抗ベース変数 R\_AL バッテリー 1 4 が経年変化するにつれてバッテリー抵抗 R <sub>B A T</sub> の変化を把握するように メモリ 1 8 において更新され得る。

# [0038]

従って、バッテリー14のSOCは、バッテリー14の電圧V<sub>BAT</sub>及び温度Tに基づいて正確に計算され得る。このような方式のバッテリー検知はそのため、典型的な電圧相関バッテリー検知方法より正確となる。というのは、本明細書に記載のバッテリー検知は、電流が負荷を介して流れる一方で、電圧V<sub>BAT</sub>に対するIRドロップ効果を把握するためである。また、本明細書に記載のバッテリー検知の方式は、本明細書に記載のバッテリー検知の方式は、本明細書に記載のバッテリー検知がバッテリー14のSOCを計算する付加的な電流センサを必要としないため、典型的なクーロンカウンティングバッテリー検知方法よりもコスト効率がよく効率的である。従って、本明細書に記載のバッテリー検知手法は、典型的なバッテリー検知手法より正確で、コスト効率的がよく、効率的でもある。

#### [0039]

上述の構造的及び機能的特徴を考慮すると、図 5 を参照すれば本発明の種々の側面に従った手法がより一層よく理解できるであろう。説明を簡潔にするため、図 5 の手法は連続的に実行するように示され及び説明されているが、本発明は、図示された順に限定されることはなく、幾つかの側面は、本発明に従って、異なる順で及び / 又は本明細書に図示及び記載したものとは他の側面と同時に生じ得ることを理解及び認識されたい。また、本発明の 1 つの側面に従って或る方法を実行するために図示した全ての特徴が必要とされるわけではない。

#### [0040]

図5は、本発明の1つの側面に従ってバッテリーの充電状態(SOC)を計算するための方法200の一例を図示する。202において、バッテリーは、バッテリーのDODに関連するバッテリーの定常状態挙動と遷移挙動とに関連付けられる所定のデータを判定するため、定常状態回路部及び遷移回路部を含むダイナミックバッテリーモデルとしてモデル化される。バッテリーのモデル化は、ダイナミックバッテリーモデルの所定の数のDOD値の各々に対し、レジスタ及びキャパシタのための判定値だけでなく、バッテリーの電圧及び抵抗に関連付けられる温度依存変数を含み得る。ダイナミックバッテリーモデル及び関連するテストバッテリーは、回路パラメータの正確なモデル化のためバッテリーと同じ化学成分を有し得る。

### [0041]

204で、バッテリーの温度が判定される。温度は、バッテリーの温度又はバッテリー環境の周囲温度を監視する温度センサに基づいて判定され得る。206で、バッテリーの電圧が測定される。208で、所定のデータがメモリからアクセスされる。所定のデータは更に、予め計算されたDOD及び推定された電流を含む、予め計算されたバッテリーデータを含むこともできる。210で、バッテリーのSOCは、電圧、所定のデータ、及び温度に基づいて計算される。SOCの計算は、上述の式に基づき得る。

### [0042]

当業者であれば、説明した例示の実施例に変形が成され得ること、及び本発明の特許請求の範囲内で他の実施例を実装し得ることが分かるであろう。

10

20

30

# 【図1】

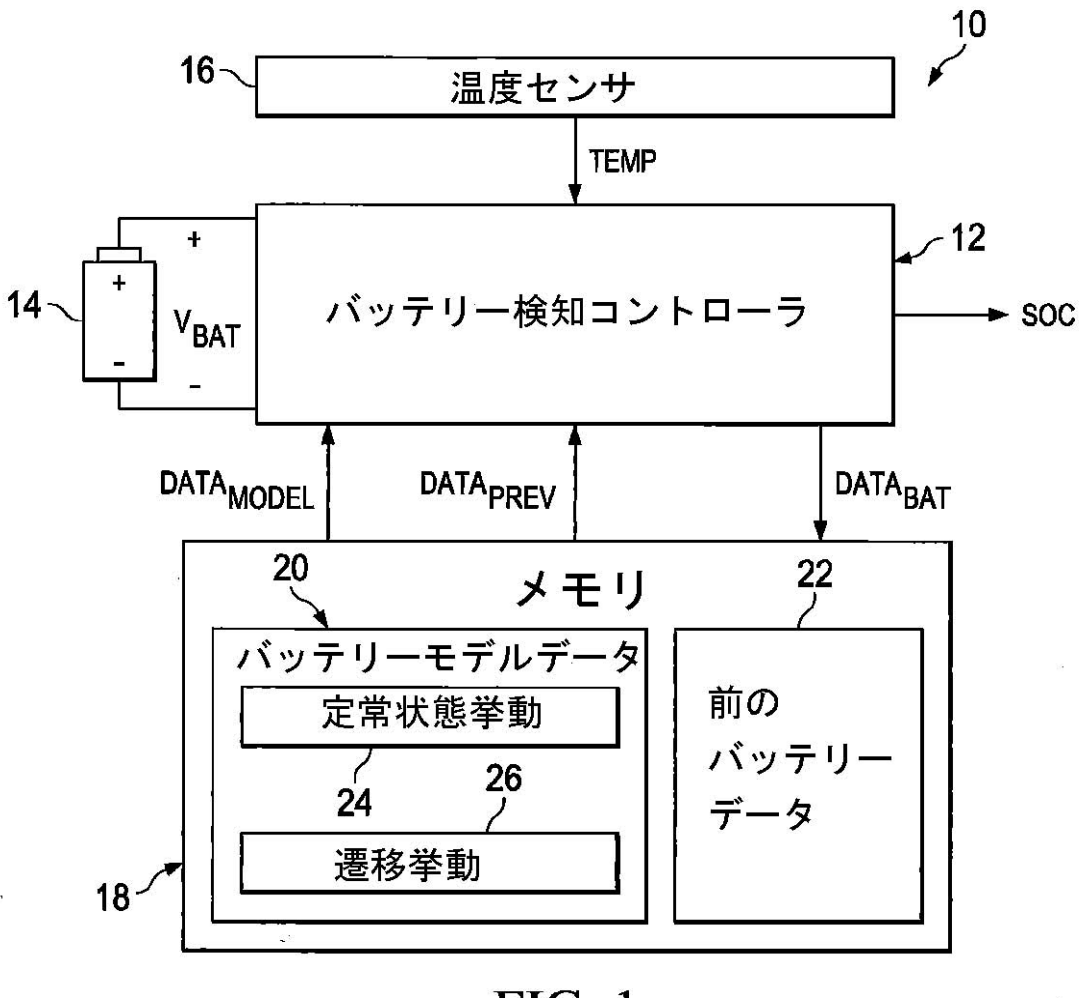
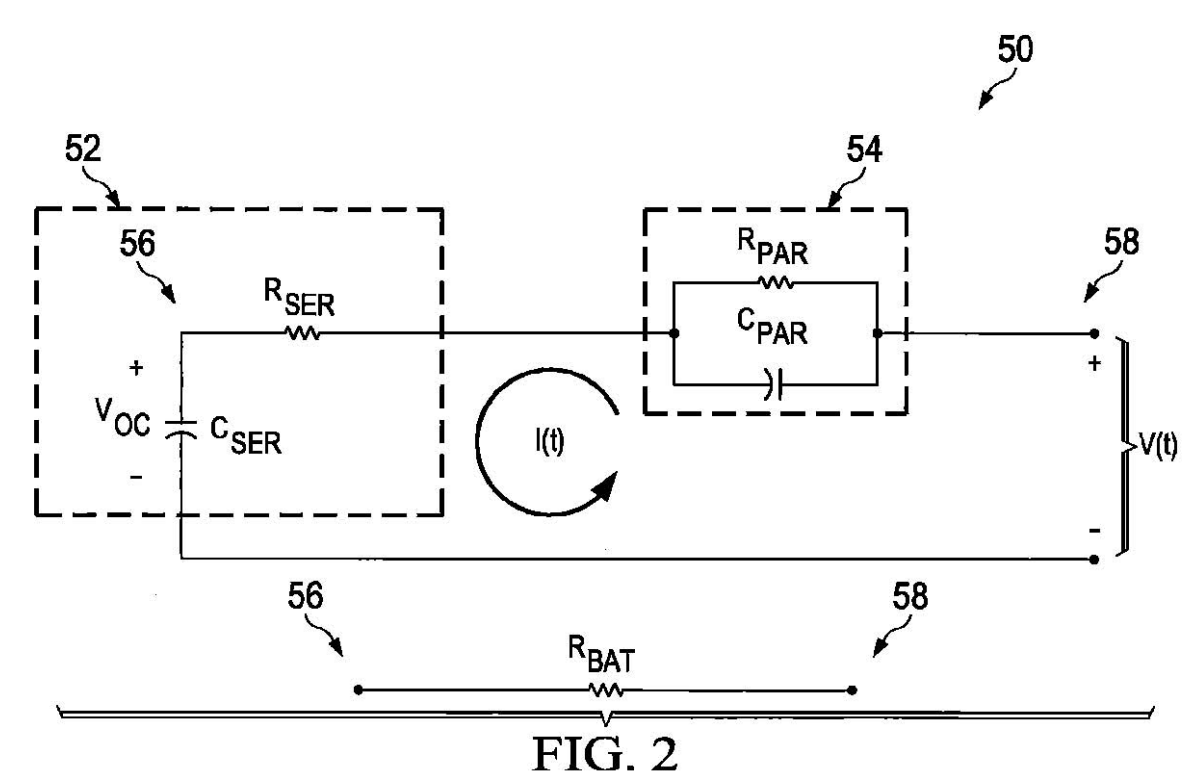


FIG. 1

# 【図2】





ν<sub>2</sub> ν<sub>1</sub> -

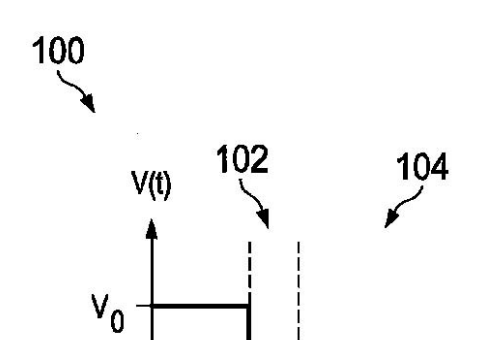


FIG. 3

【図4】

150

20 バッテリーモデルデータ 162 152 154 156 158 160 164 RATIO<sub>1</sub> RATIO<sub>2</sub> OCV\_A OCV\_B R\_A R\_B DOD CCC XXX YYY ZZZ 0.000 AAA BBB CCC XXX ZZZ 0.111 AAA BBB YYY ZZZ AAA BBB CCC XXX YYY 0.222 YYY CCC XXX ZZZ 0.333 AAA BBB CCC XXX YYY AAA **BBB** ZZZ 0.444 AAA **BBB** CCC XXX YYY ZZZ 0.556 0.667 AAA **BBB** CCC XXX YYY ZZZ CCC XXX YYY ZZZ 0.778 AAA **BBB** YYY CCC XXX **ZZZ** AAA **BBB** 0.810 CCC XXX YYY ZZZ AAA 0.841 **BBB** YYY ZZZ AAA CCC XXX 0.873 **BBB** AAA **BBB** CCC XXX YYY ZZZ 0.905 0.937 AAA **BBB** CCC XXX YYY ZZZ CCC YYY ZZZ 0.968 AAA **BBB** XXX CCC XXX YYY ZZZ 1.000 AAA **BBB** 

FIG. 4

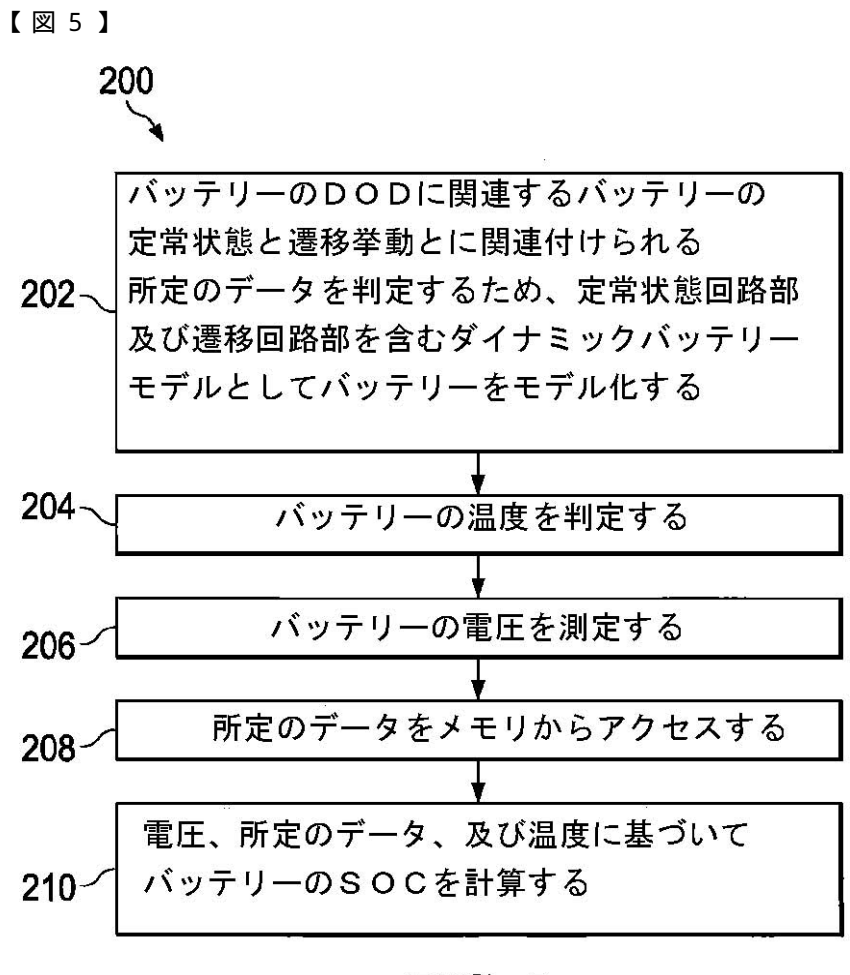


FIG. 5

### 【国際調査報告】

#### INTERNATIONAL SEARCH REPORT

International application No. PCT/US2011/063483

#### A. CLASSIFICATION OF SUBJECT MATTER

#### G01R 31/36(2006.01)i

According to International Patent Classification (IPC) or to both national classification and IPC

#### B. FIELDS SEARCHED

Minimum documentation searched (classification system followed by classification symbols) G01R 31/36; H01M 10/48: H01M 7/44; H02J 7/00; G01N 27/416

Documentation searched other than minimum documentation to the extent that such documents are included in the fields searched Korean utility models and applications for utility models

Japanese utility models and applications for utility models

Electronic data base consulted during the international search (name of data base and, where practicable, search terms used)
eKOMPASS(KIPO internal) & Keywords: battery, sense, temperature, sensor, measure, memory, store, data, depth of discharge, DOD, control, calculate, sampling, time, voltage, SOC, RC, network, model, circuit

#### C. DOCUMENTS CONSIDERED TO BE RELEVANT

Category*	Citation of document, with indication, where appropriate, of the relevant passages	Relevant to claim No.
Y A	JP 2004-311257 A (MITSUBISHI MOTORS CORP) 04 November 2004 See the abstract, paragraphs [0018]-[0038], claim 1, and figures 1-3,5,8	1,12 2-11,13-20
Y A	KR 10-2003-0013215 A (MCSCIENCE INC) 14 February 2003 See the abstract, pages 2-4, claim 1, and figures 1-3	1,12 2-11,13-20
Α	US 7595643 B2 (JAMES K. KLANG) 29 September 2009 See the abstract, column 6, line 42-column 10, line 51, and figures 1-4	1-20
A	US 06094033A A (YI DING et al.) 25 July 2000 See the abstract, column 6, line 5-column 8, line 67, and figures 1,8-10	1-20

$\overline{}$	l			
	Further documents are	11-4-3-1-4	41	
	Furiner documents are	nsica in	i ine combinitati	ION OT BOX C.

See patent family annex.

- \* Special categories of cited documents:
- "A" document defining the general state of the art which is not considered to be of particular relevance
- "E" earlier application or patent but published on or after the international filing date
- "U" document which may throw doubts on priority claim(s) or which is cited to establish the publication date of citation or other special reason (as specified)
- "O" document referring to an oral disclosure, use, exhibition or other means
- "P" document published prior to the international filing date but later than the priority date claimed
- "I" later document published after the international filing date or priority date and not in conflict with the application but cited to understand the principle or theory underlying the invention
- "X" document of particular relevance; the claimed invention cannot be considered novel or cannot be considered to involve an inventive step when the document is taken alone
- "Y" document of particular relevance; the claimed invention cannot be considered to involve an inventive step when the document is combined with one or more other such documents, such combination being obvious to a person skilled in the art
- "&" document member of the same patent family

Date of the actual completion of the international search
20 JULY 2012 (20.07.2012)

Date of mailing of the international search report

23 JULY 2012 (23.07.2012)

Name and mailing address of the ISA/KR



Korean Intellectual Property Office 189 Cheongsa-ro, Seo-gu, Daejeon Metropolitan City, 302-701, Republic of Korea

PARK, Keun Yong

Authorized officer

Telephone No. 82-42-481-8508



Form PCT/ISA/210 (second sheet) (July 2009)

# INTERNATIONAL SEARCH REPORT

Information on patent family members

International application No.

PCT/US2011/063483

date member(s) date  JP 2004-311257 A 04.11.2004 JP 4247605 B2 02.04.2009  KR 10-2003-0013215 A 14.02,2003 None  US 7595643 B2 29.09,2009 GB 2408108 A 18.05.2005  JP 2005-148056 A 09.06.2005  JP 2007-080814 A 29.03.2007  US 2005-0099185 A1 12.05.2005  US 2006-0279288 A1 14.12.2006  US 7116109 B2 03.10.2006	Information on patent family members			PCT/US2011/063483		
KR 10-2003-0013215 A 14.02,2003 None  US 7595643 B2 29.09,2009 GB 2408108 A 18.05.2005  JP 2005-148056 A 09.06.2005  JP 2007-080814 A 29.03.2007  US 2005-0099185 A1 12.05.2005  US 2006-0279288 A1 14.12.2006  US 7116109 B2 03.10.2006	Patent document cited in search report					
US 7595643 B2	JP 2004-311257 A	04.11.2004	JP 4247605 B2	02.04.2009		
JP 2005-148056 A 09.06.2005 JP 2007-080814 A 29.03.2007 US 2005-0099185 A1 12.05.2005 US 2006-0279288 A1 14.12.2006 US 7116109 B2 03.10.2006	KR 10-2003-0013215 A	14,02,2003	None			
US 06094033A A 25.07.2000 US 6229285 B1 08.05.2001	US 7595643 B2	29,09,2009	JP 2005-148056 A JP 2007-080814 A US 2005-0099185 A1 US 2006-0279288 A1	09.06.2005 29.03.2007 12.05.2005 14.12.2006		
	US 06094033A A	25.07.2000	US 6229285 B1	08.05.2001		

Form PCT/ISA/210 (patent family annex) (July 2009)

### フロントページの続き

(81)指定国 AP(BW,GH,GM,KE,LR,LS,MW,MZ,NA,RW,SD,SL,SZ,TZ,UG,ZM,ZW),EA(AM,AZ,BY,KG,KZ,MD,RU,TJ,TM),EP(AL,AT,BE,BG,CH,CY,CZ,DE,DK,EE,ES,FI,FR,GB,GR,HR,HU,IE,IS,IT,LT,LU,LV,MC,MK,MT,NL,NO,PL,PT,RO,RS,SE,SI,SK,SM,TR),OA(BF,BJ,CF,CG,CI,CM,GA,GN,GQ,GW,ML,MR,NE,SN,TD,TG),AE,AG,AL,AM,AO,AT,AU,AZ,BA,BB,BG,BH,BR,BW,BY,BZ,CA,CH,CL,CN,CO,CR,CU,CZ,DE,DK,DM,DO,DZ,EC,EE,EG,ES,FI,GB,GD,GE,GH,GM,GT,HN,HR,HU,ID,IL,IN,IS,JP,KE,KG,KM,KN,KP,KR,KZ,LA,LC,LK,LR,LS,LT,LU,LY,MA,MD,ME,MG,MK,MN,MW,MX,MY,MZ,NA,NG,NI,NO,NZ,OM,PE,PG,PH,PL,PT,QA,RO,RS,RU,RW,SC,SD,SE,SG,SK,SL,SM,ST,SV,SY,TH,TJ,TM,TN,TR,TT,TZ,UA,UG,US,UZ,VC,VN

(72)発明者 イェブゲン バルスコフ

アメリカ合衆国 75082 テキサス州 リチャードソン , ヘザーブルック レーン 325 7

(72)発明者 ヤンドン ジャン

アメリカ合衆国 75025 テキサス州 プラノ, ファウンテン スプリングス 8217

(72)発明者 デール エイ ブラックウェル

アメリカ合衆国 78733 テキサス州 オースティン , クエルナバカ ドライブ 111 エス

Fターム(参考) 2G016 CA04 CB00 CB11 CC00 CC01 CC02 CC04 CC07 CC20 CC24

CC28 CD10 CD14 CF06

5G503 BB01 EA09 GD03

5H030 AA06 AA10 AS11 AS14 AS18 FF22 FF43 FF44 FF52